

مهندسی مکانیک جامدات

<http://jsme.iaukhsh.ac.ir>

بهینه سازی پارامترهای جوشکاری فولاد کم کربن EN 10130 به روش جوشکاری اصطکاکی-اغتشاشی

اکبر علیمحمدی^۱، مسعود کثیری^۲، مسعود افرند^{۳*}، حسین نوروزی فروزانی^۴

نویسنده مسئول: masoud.afrand@pmc.iaun.ac.ir

واژه‌های کلیدی

جوشکاری اصطکاکی-اغتشاشی، فولاد کم کربن، طراحی آزمایش.

۹۴/۱۰/۲۶

تاریخ ارسال:

۹۴/۱۱/۲۴

تاریخ بازنگری:

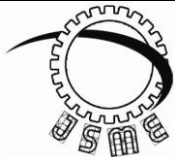
۹۵/۰۲/۱۸

تاریخ پذیرش:

چکیده

فرایند جوشکاری اصطکاکی-اغتشاشی یک روش نو و جدید جوشکاری حالت جامد است که در اثر اصطکاک بین پین و شولدر و قطعه کار، تولید حرارت می‌کند. این حرارت باعث ایجاد یک منطقه خمیری شکل می‌شود. نیروی فشار از طرف شولدر و چرخش پین و ادغام لبه‌های اتصال سبب انجام جوشکاری می‌شود. در این پژوهش ابتدا به بررسی جوش پذیری ورق فولادی EN10130 با ضخامت ۱/۵ میلی‌متر پرداخته شد و پارامترهای سرعت دورانی، سرعت پیش روی ابزار، قطر پین و شولدر، توسط ۵۸ عدد آزمایش مورد بررسی قرار گرفته است. پس از ایجاد جوش‌هایی بدون عیب، بازه ۵۰۰ تا ۱۰۰۰ دور بر دقيقه برای سرعت دورانی و بازه ۳۰ تا ۱۶۰ میلی‌متر بر دقيقه برای سرعت خطی بترتیب به عنوان سطوح بالا و پایین مناسبی برای این پارامترها انتخاب شده‌اند. برای دست‌یابی به بیشترین استحکام کششی، تعداد ۲۹ آزمایش با توجه به سطوح معین شده پارامترها، از روش باکس بنکن طراحی شده، سپس متداول‌تری سطح پاسخ برای بهینه‌سازی پارامترها مورد استفاده قرار گرفته است. نتایج بهینه‌سازی و شرایط آزمایشگاهی همخوانی خوبی داشتند که این نتیجه، نشان دهنده کفایت مدل طراحی آزمایش‌ها و نتایج پیش‌بینی بهینه‌سازی است. آزمایش‌های ریز سختی سنجی، متالوگرافی و تست کشش نرمال صورت گرفته روی ۳ سری از ورق‌های تولید شده با مناسب‌ترین استحکام کششی و افزایش طول، منطقه متأثر از حرارت ورق‌های سمت پیش‌رونده را ضعیف‌تر از بقیه موضع جوش معرفی کردند.

- کارشناس ارشد، دانشکده مهندسی مواد، واحد نجف آباد، دانشگاه آزاد اسلامی، نجف آباد، ایران.
- استادیار، دانشکده مهندسی مواد، واحد نجف آباد، دانشگاه آزاد اسلامی، نجف آباد، ایران.
- استادیار، گروه مهندسی مکانیک، واحد نجف آباد، دانشگاه آزاد اسلامی، نجف آباد، ایران.
- کارشناس ارشد، دانشکده مهندسی مکانیک، دانشگاه صنعتی امیرکبیر(پلی-تکنیک تهران)، ایران.



Optimization of the Parameters of Low-carbon Steel (EN10130) Welding using Friction Stir Welding Method

Akbar Alimohammady¹, Masoud Kasiri², Masoud Afrand^{3,*}, Hossein Noruzi Forooshani⁴

* Corresponding Author: masoud.afrand@pmc.iaun.ac.ir

Abstract:

Friction-stir welding process is a novel method of solid state welding, which produces heat due to friction between the pin, the shoulder and the workpiece. This heat causes a paste area. Shoulder pressure and pin spin cause edges integration and lead to welding. In this study, firstly, the feasibility of welding of steel sheet (EN10130) with a thickness of 1.5mm has been tested by 58 experiments. After making perfect welds, the ranges of 500-1000 RPM and 30-160 mm/min were selected as the suitable upper and lower levels, respectively, for rotational speed and linear speed. To achieve a maximum tensile strength, 29 tests were designed by using the Box-Benken method considering specified levels of the parameters. Then, the response surface methodology was used for optimization of the parameters. Results showed that the optimal outputs and experimental data were in good agreement, which indicate the adequacy of the design of experiments and optimization predict results. Micro-hardness tests, metallography and normal tensile test were carried out on three series of plates produced with the most appropriate tensile strength and elongation. Results showed that heat-affected zone weakened the sheet of advancing side compared to other welding zones.

Key words:

Friction stir welding method,
Low-carbon steel,
Design of experiment.

1- MSc, Department of Materials Engineering, Najafabad Branch, Islamic Azad University, Najafabad, Iran.

2- Assistant professor, Department of Materials Engineering, Najafabad Branch, Islamic Azad University, Najafabad, Iran.

3- Assistant professor, Department of Mechanical Engineering, Najafabad Branch, Islamic Azad University, Najafabad, Iran.

4- MSc, Department of Mechanical Engineering, Amirkabir University of Technology (Tehran Polytechnic), Iran.

این فرایند سه ناحیه (دکمه^۴ جوش و دو ناحیه متاثر از حرارت^۵) بوجود می‌آید. HAZ₁ شامل فریت چند وجهی همراه با حداکثر افت سختی است و HAZ₂ شامل مارتنتیت تمپر شده همراه با سختی نسبتاً بیشتر از HAZ₁ بود. چو^۶ و همکاران، [۸] فولاد فریتی ۴۰۹ را توسط روش FSW با موفقیت اتصال دادند. آنها در یافتن که در منطقه اغتشاش^۷ یافته ساختار کاملاً ریز دانه و دارای سختی بالا است که این امر به دلیل تبلور مجدد ناشی از تغییر شکل برشی و حرارت بالا است.

در تحقیق حاضر، پارامترهای فرایند جوشکاری FSW بر روی ورق فولادی EN 10130 نورد شده، توسط نرم افزار DOE طراحی آزمایش شده و نتایج طراحی آزمایش با نتایج عملی بدست آمده مقایسه می‌شود. سپس ریز ساختار و خواص مکانیکی ناحیه جوشکاری شده مورد بررسی قرار می‌گیرد.

۲- روش کار

۲-۱- فلز پایه

در این پژوهش عملیات جوشکاری اصطکاکی-اغتشاشی روی ورق فولادی نورد شده EN10130 به ضخامت ۱/۵ میلیمتر با پارامترهای متفاوت انجام شد. ترکیب شیمیایی ورق مورد استفاده در جدول (۱) آمده است. ورق‌ها با استفاده از دستگاه گیوتین به ابعاد $160 \times 80 \times 1/5$ میلی‌متر برش زده شدند. نمونه‌ها بعد از برش لبه آنها به وسیله سوهان پلیسه گیری و تمیز شدند و در ادامه دو ورق بصورت لب به لب در داخل قیدی محکم ثابت شدند. فرایند جوشکاری در جهت طولی نمونه‌ها با استفاده از یک ماشین فرز سه محور در سرعت دورانی و پیشروی و قطرهای مختلف شانه و پین انجام شد.

در این تحقیق ابزاری از جنس کاربید تنگستن با پین استوانه‌ای شکل استفاده شد. این ابزار دارای طول پین ۱/۳

^۱- مقدمه امروزه با توجه به پیشرفت‌های مختلف در صنایع (از جمله صنعت جوشکاری) و نیازهای جدید و روز افزون بشر موجب شده تا محققان و صنعتگران به سمت استفاده از روش‌های جدید تولید برای دستیابی هرچه سریعتر به محصولات مورد نیاز پیش روند. در میان فرایندهای نوین جوشکاری، فرایند اصطکاکی-اغتشاشی (FSW)^۱، برای اتصال ورق‌های پرکاربرد فولادی و آلومینیومی در صنایع مختلف از جمله صنایع خودرو، بسیار مورد توجه قرار گرفته است [۲،۱]. اصلی‌ترین مشکل ورق‌های اتصال یافته توسط روش جوشکاری اصطکاکی-اغتشاشی، که صنعت با آن مواجه است، میزان افت خواص مکانیکی، از جمله استحکام نسبت به فلز پایه می‌باشد، که علت آن دلایل اصلی همچون عدم انتخاب سرعت چرخش مناسب ابزار، سرعت نامناسب پیشروی ابزار، قطر نامناسب پین و شانه ابزار و دلایل فرعی همچون، انتخاب نامناسب زاویه انحراف^۲، پیش گرم، جهت چرخ ابزار(ساعت گرد یا پاد ساعت گرد)، سیستم قید و بند، هندسه ابزار وغیره است [۳،۴ و ۵].

جعفرزادگان و همکاران [۶] فولاد‌های St37 و فولاد زنگ نزن 304 را به روش جوشکاری اصطکاکی-اغتشاشی، با سرعت پیشروی ثابت و با سرعت چرخش‌های ۴۰۰ و ۸۰۰ دور بر دقیقه جوشکاری کردند. آنها دریافتند نمونه‌ای که با سرعت چرخش بیشتر جوشکاری شده دارای درصد ازدیاد طول بیشتر و استحکام کمتر است. همچنین در سطح مقطع نمونه‌ای که با سرعت چرخش بیشتری جوشکاری شده ذرات کاربید تنگستن مشاهده شد، که باعث کاهش انعطاف پذیری جوش شد. گویش^۳ و همکاران [۷] فولاد کم کربن مارتنتیتی M190 را به روش اصطکاکی-اغتشاشی با موفقیت جوش دادند. آنها دریافتند که در اثر اصطکاک بین ابزار و ورق‌های فولادی پیک دما بی به ۱۰۹۰-۱۰۸۰ درجه سانتی‌گراد می‌رسد که طی

⁴ Nugget

⁵ Heat Affected Zone (HAZ)

⁶ Cho

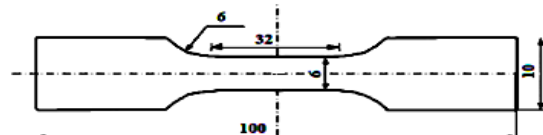
⁷ Stir Zone (SZ)

^۱ Friction Stir Welding (FSW)

^۲ Tilt angle

^۳ Ghosh

تن استفاده شد. شکل (۲) نقشه ابعادی نمونه های کشش را نشان می دهد.



شکل (۲) ابعاد نمونه کشش مطابق با استاندارد ASTM E8 (ابعاد بر حسب میلیمتر)

میلی متر و قطر های شانه و پین های مختلف است. همچنین شانه ابزار یک زاویه ۸ درجه به سمت داخل داشت تا مواد به واسطه چرخش پین وارد محفظه حاصل از این زاویه شده و در هنگام عبور ابزار با نیروی زیاد به سمت پایین فورج شود. شکل (۱) هندسه ابزار کاربید تنگستن حاوی پین استوانه ای مورد استفاده در این تحقیق را نشان می دهد.

جدول (۱) ترکیب شیمیایی فولاد EN 10130 [۹]

C%	Si%	Mn%	P%	S%	Ni%	Mo%
۰/۰۴	۰/۰۱	۰/۲۳	۰/۰۰۷	۰/۰۰۶	۰/۰۳	۰/۰۱
Cu%	V%	W%	Co%	Al%	Sn%	Pb%
۰/۰۳	۰/۰۰۲	۰/۰۰۳	۰/۰۰۴	۰/۰۵۵	۰/۰۰۷	۰/۰۰۳



شکل (۱) ابزار کاربید تنگستن، حاوی پین مخروطی مورد استفاده در تحقیق

۵-۲- طراحی آزمایش^۱ (DOE)

متدولوژی سطح پاسخ در سال ۱۹۵۱ توسط باکس و ویلسون [۱۴]، جهت بهبود فرایندهای شیمیایی ارائه شد. موتکگومری در سال ۲۰۰۵ [۱۵]، متدولوژی سطح پاسخ را اینگونه تعریف می کند "متدولوژی سطح پاسخ مجموعه ای از تکنیک های آماری و ریاضیاتی است که کاربرد آن برای مدل سازی و تحلیل مسائلی است که یک متغیر پاسخ^۲ (خروجی) مورد نظر تحت تأثیر چندین متغیر مستقل دیگر قرار داشته باشد و ما بخواهیم این متغیر پاسخ را به مقدار بهینه خود برسانیم". واژه ای سطح پاسخ نشان می دهد که تغییرات متغیر پاسخ در قبال متغیرهای کنترلی باید مدنظر گرفته شود. برای این منظور ابتدا سطوح بالا و پایین پارامترهای جوشکاری اصطکاکی-اغتشاشی از جمله قطر پین، قطر شانه، سرعت دورانی ابزار و سرعت پیشروی ابزار بررسی و تعیین شدند. این بازه در شکل (۳) نمایش داده شده است. همچنین بازه مناسب برای انتخاب قطر پین و شولدر از مرجع [۱۶] و تجارت آزمایشگاهی استفاده شده است. در کلیه آزمون های نشان داده شده در شکل (۳)،

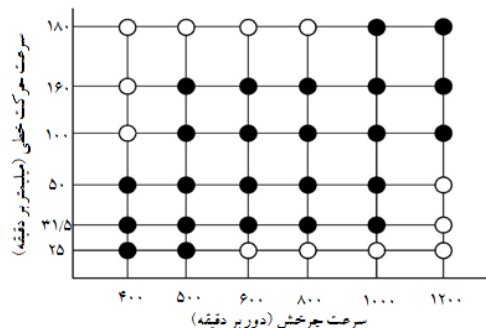
۲-۲- متالوگرافی و مطالعه ریزساختاری

بعد از انجام جوشکاری اصطکاکی-اغتشاشی، ورق ها در جهت عمود بر راستای فرایند بریده شدند. نمونه های تهیه شده پس از سنباده کاری توسط محلول نایتال ۲ درصد در مدت زمان ۲۰ ثانية حکاکی شدند [۱۰]. مطالعه ریزساختاری نمونه های تهیه شده در بزرگنمایی مختلف با استفاده از میکروسکوپ نوری مجهز به نرم افزار تحلیل تصاویر صورت گرفت.

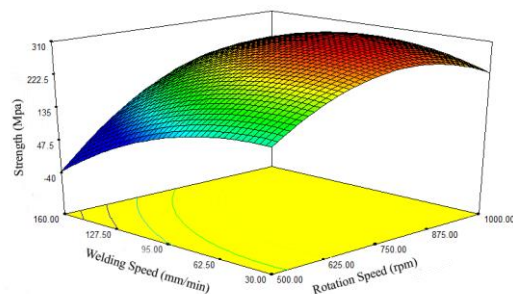
۲-۳- آزمون کشش

نمونه های آزمون کشش بر اساس استاندارد ASTM-E8 [۱۱] توسط دستگاه واير کات برش خورده و آماده سازی شدند. برای این آزمون از یک دستگاه کشش با ظرفیت ده

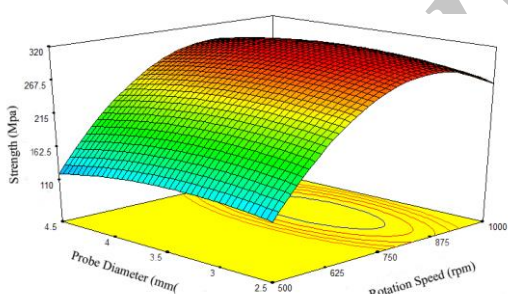
¹ Design Of Experiments
² Response Variable



شکل (۳) آزمون های انجام شده برای تعیین سطوح بالا و پایین سرعت حرکت خطی و دورانی ابزار



شکل (۴) اثر پارامترهای متغیر سرعت دورانی ابزار و سرعت حرکت خطی ابزار بر روی استحکام کششی ورق های جوش خورده



شکل (۵) اثر پارامترهای متغیر سرعت دورانی ابزار و قطر پین ابزار بر روی استحکام کششی ورق های جوش خورده

زاویه انحراف ثابت و برابر ۲ درجه، عمق نفوذ پین ثابت و برابر $1/3$ میلی متر، قطر شانه ابزار ثابت و برابر ۱۳ و قطر پین ثابت و برابر ۳ میلی متر در نظر گرفته شده اند. نقاط مشکلی بیانگر اتصال سالم و نقاط سفید بیانگر اتصال معیوب است. در ادامه برای بررسی این پارامترهای قابل کنترل، آزمایش هایی از طریق باکس و بنکن^۱ تحت رویه مونتگومری، طراحی آزمایش شدند و سپس تابع هدف بصورت مدل ریاضی تعریف شده و در نهایت این مدل توسط متادولوژی سطح پاسخ^۲ بهینه سازی می شود. هدف از این بهینه سازی برای دست یابی به ورق جوش خورده با بیشترین استحکام کششی می باشد. در این آزمایش استحکام کششی، سطح پاسخ تعریف شده است که تاثیر سرعت چرخش، سرعت پیشروی، قطر پین و قطر شانه بر روی استحکام کششی مورد بررسی قرار گرفته است. در شکل (۴) اثر دو پارامتر سرعت چرخش و سرعت پیشروی بر روی استحکام جوش مشاهده می شود. با توجه به شکل (۴) در سرعت هایی چرخش بین 700 rpm تا 875 rpm و در سرعت پیشروی 60 mm/min تا 90 mm/min بیشترین استحکام حاصل می شود و در خارج از محدوده فوق استحکام کششی افت پیدا می کند. همچنین شکل (۵) اثر همزمان سرعت چرخش ابزار و قطر پین را بر روی استحکام کششی نشان می دهد. همانطور که مشخص است سرعت چرخش در محدوده ۷۰۰ rpm تا ۸۷۵ rpm و قطر پین در محدوده ۳ mm تا ۴ mm بیشترین استحکام کششی را دارد. همانطور که در شکل مشخص است نسبت تغییرات سرعت چرخش به قطر پین بیشتر است و تاثیر بیشتری بر روی استحکام جوش دارد. به عبارتی دیگر با تغییر سرعت چرخش ابزار، استحکام کششی اتصال بیشتر تغییر می کند.

۳- نتایج و بحث

۳-۱- متالوگرافی و مطالعه ریز ساختاری

بررسی نتایج حاصل از آزمون کشش و ریز سختی نمونه های جوشکاری شده به روش اصطکاکی-اعتاشاشی بدون در نظر گرفتن تحولات ریز ساختاری به وجود آمده میسر

¹ Box and Benken

² Response Surface Methodology (RSM)

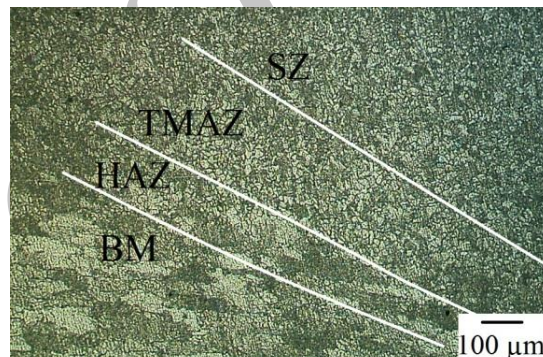
موجب تبلور مجدد شدید می شود. نتیجه این پدیده کاهش چگالی نابجایی ها، رشد و افزایش اندازه دانه خواهد بود که در نهایت سختی و استحکام را به دنبال دارد [۱۷].



۲-۳- خواص کششی

در شکل (۷) همچنین نتایج استحکام کششی نمونه های حاصل از فرایند FSW در سرعت دورانی و پیشروی های مختلف و قطرهای پین و شانه های مختلف آمده است. همانگونه که مشاهده می شود بالاترین استحکام کششی

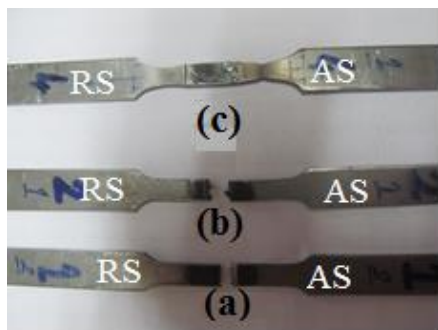
نیست. لذا در ابتدا به بررسی تاثیر جوشکاری اصطکاکی-اغتشاشی بر ریزساختار اتصال فولاد EN10130 پرداخته می شود. شکل (۶) ریز ساختار نمونه جوشکاری شده به روشن اصطکاکی-اغتشاشی را نشان می دهد. در این شکل، سه ناحیه (۱) ناحیه اغتشاشی، (۲) متاثر ترمومکانیکی^۱ و (۳) متاثر از حرارت دیده می شود. در ناحیه اغتشاشی اندازه دانه در مقایسه با فلز پایه به شدت ریز و همگن شده اند. این شکل پلاستیکی شدید در این منطقه رخ داده است. دانه ها در ناحیه TMAZ مشابه فرایند های شکل دهی سرد، دارای جهت گیری خاصی هستند که در مرز بین SZ و ناحیه HAZ به شکل طولی کشیده شده اند.



شکل (۶) ریزساختار مختلف نواحی جوش در نمونه جوشکاری شده
توسط پارامترهای بهینه شامل BM, HAZ, TMAZ, SZ

ریزساختار فولاد EN10130 و منطقه اغتشاش یافته نمونه های جوشکاری شده با پارامترهای مختلف در شکل (۷) نشان داده شده است. همانطور که در شکل مشخص است، اندازه دانه ها در منطقه اغتشاش یافته کاهش یافته است، بطوری که اندازه دانه در ساختار اولیه ورق حدودا ۲۰۰ میکرومتر است. این در حالیست که اندازه دانه در منطقه اغتشاش یافته بطور میانگین به ۲۰ میکرومتر می رسد. با توجه به اینکه در حین انجام FSW ماده چار تغییر شکل پلاستیک شدید می شود، این عمل باعث افزایش عیوب کریستالی خواهد شد. اصطکاک بین ابزار و قطعه کارها باعث افزایش دما در ناحیه اغتشاش می شود که این پدیده

^۱ Thermo Mechanically Affected Zone (TMAZ)



شکل (۹) مقایسه سه نمونه جوشکاری شده با پارامترهای مختلف و محل شکست آنها

۳-۳- دیزسختی

منحنی توزیع سختی روی مقطع نمونه های جوشکاری شده در شکل (۱۰) نشان داده شده لازم به ذکر است که میانگین سختی اندازه گیری شده ورق فولادی برابر $91/5$ ویکرز بوده است. با توجه به شکل (۱۰) مشاهده می شود که سختی در هر سه نمونه جوشکاری شده نسبت به فلز پایه افزایش پیدا کرده است که علت آن تحولات ریزساختاری صورت گرفته در حین فرایند جوشکاری می باشد که سبب کاهش شدید اندازه دانه در ناحیه جوش شده است. در اتصال ایجاد شده در نمونه (a) به روش FSW حداقل محدوده سختی (HV) در منطقه HAZ در قسمت AS اندازه گیری شد که با موقعیت شکست اتصال در آزمون کشش مطابقت دارد. همچنین در نمونه (b) حداقل محدوده سختی (HV) در منطقه BM در قسمت AS تعیین شد که با محل شکست نمونه در آزمون کشش همخوانی ندارد. در نمونه (c) که پارامترهای فرایند FSW توسط نرم افزار DOE از روش باکس بنکن تحت رویه مونتگومری، طراحی آزمایش شده اند و حالت بهینه بدست آمده است، حداقل محدوده سختی (HV) در منطقه فلز پایه^۴ در قسمت پیش رونده^۵ تعیین شد که با محل شکست نمونه در آزمون کشش همخوانی دارد (شکل (۹)).

معادل 305 مگاپاسکال است که در سرعت های دورانی و پیشروی به ترتیب 870 دور بر دقیقه و 80 میلیمتر بر دقیقه و قطر پین و شانه به ترتیب 4 و 14 میلیمتر حاصل شد. لازم به ذکر است که استحکام کششی فلز پایه 290 مگاپاسکال است. با توجه به شکل (۷) و با مقایسه نتایج بدست آمده مشاهده می شود که استحکام کششی نمونه (a) 62% فلز پایه و استحکام کششی نمونه (b) 53% فلز پایه است. در حالی که استحکام کششی نمونه (c) که با طراحی آزمایش پارامترهای آن بهینه سازی شده است، 105% فلز پایه است. این نتایج نشان می دهد که اولاً اتصال از طریق جوشکاری اصطکاکی-اغتشاشی از استحکام بالایی برخوردار است. ثانیاً طراحی آزمایش پارامترهای جوشکاری FSW توسط نرم افزار DOE از طریق باکس و بنکن تحت رویه مونتگومری^۱ نتیجه مطلوبی را ایجاد می کند.

موقعیت شکست اتصال در نمونه های (a) و (b) دقیقاً در جوش است و موقعیت شروع گلوئی و شکست در نمونه (c) در فلز پایه است. این موضوع در شکل های (۸) و (۹) نشان داده شده است که سطح پسروند^۲ و پیشروند^۳ به ترتیب با RS و AS مشخص شده اند. از مقایسه نتایج شکل (۹) و (۸) با شکل (۷) مشاهده می شود مقدار استحکام کششی ذکر شده با محل شکست هم خوانی کامل دارد.



شکل (۸) نمونه کشش (c)، جوشکاری شده با پارامترهای بهینه

⁴ Base Metal (BM)
⁵ Advancing Side (AS)

¹ Montgomery
² Retreating side
³ Advancing side

جوش حاصل از کیفیت مناسبی برخوردار نیست. در این شرایط حالت بهینه‌ای وجود دارد که توسط طراحی آزمایش بدست آمد.

۵- فهرست علائم

<i>BM</i>	فلز پایه
<i>DOE</i>	طراحی آزمایش
<i>FSW</i>	جوشکاری اصطکاکی-اغتشاشی
<i>HAZ</i>	منطقه متأثر حرارتی
<i>SZ</i>	منطقه اغتشاشی
<i>TMAZ</i>	منطقه متأثر ترمومکانیکی

مراجع:

[1] Burak M., Meran C., The effect of tool rotational and traverse speed on friction stir weldability of AISI 430 ferritic stainless steels, *Materials and Design*, 33, 2012, pp. 376–383.

[2] محمدی زهرانی ا، طاهری م، زمردیان ا، ارزیابی قابلیت شکل پذیری ورق های فولادی کم کرbin St14 در تولید بدنه خودرو، مهندسی مکانیک دانشگاه آزاد واحد شهر مجلسی، شماره ۱، ۱۳۸۶، ص ۸۳-۸۹ (مقاله نشریه).

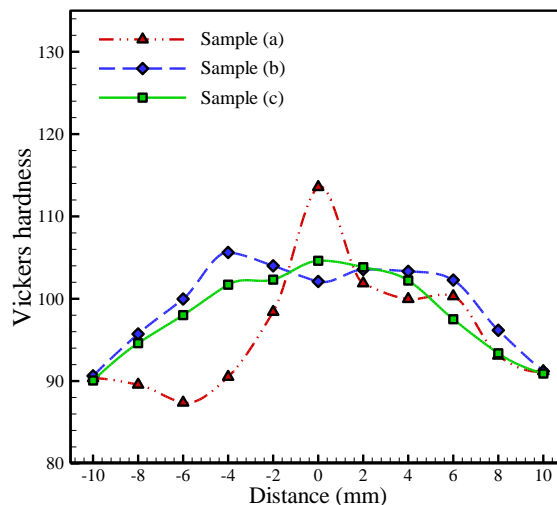
[3] غفارپور م، بررسی فرم پذیری ورق های جوش خوردۀ ترکیبی آلیاژهای نامتجانس آلومینیوم جوشکاری شده به روش اصطکاکی-اغتشاشی (FSW)، دانشگاه امیر کبیر، ۱۳۹۰.

[4] Sabooni S., Karimzadeh F., Enayati M.H., Ngan A.H.W., Friction-stir welding of ultrafine grained austenitic 304L stainless steel produced by martensitic thermomechanical processing, *Materials & Design*, 76, 2015, pp. 130–140.

[5] Husain Md.M., Sarkar R., Pal T.K., Prabhu N., Ghosh M., Friction Stir Welding of Steel: Heat Input, Microstructure, and Mechanical Property Co-relation, *Journal of Materials Engineering and Performance*, 24, 2015, pp. 3673-3683.

[6] Jafarzadegan M., Feng A.H., Abdolah-zadeh A., Saeid T., Shen J., Asadi H., Microstructural characterization in dissimilar friction stir welding between 304 stainless steel and st37 steel, *Materials characterization*, 74, 2012, 28-41.

[7] Ghosh M., Kumar K., Mishra R.S., Friction stir lap welded advanced high strength steels: Microstructure and mechanical properties, *Materials Science and Engineering A*, 528, 2011, pp. 8111–8119



شکل (۱۰) نتایج نمونه های ریزسختی

۴- نتیجه گیری

در این پژوهش بهینه سازی پارامترهای جوشکاری جوشکاری اصطکاکی-اغتشاشی انجام شد و نتایج به شرح زیر به دست آمد:

- در اثر جوشکاری اصطکاکی-اغتشاشی فولاد اولیه که دارای دانه های بزرگ و خشن به طول متوسط ۲۰۰ میکرومتر، که ناشی از کار گرم بود، به ریزساختاری شامل دانه های ریز و هم محور تبدیل شد.
- با بهینه سازی پارامترها، توسط نرم افزار DOE استحکام کششی جوش به بیش از استحکام فلز پایه می رسد.
- در شرایطی که سرعت چرخش و سرعت پیشروی ابزار بیش از اندازه انتخاب شود، حرارت ایجاد شده ناشی از اصطکاک بین ابزار و قطعه کار بالاست، در نتیجه ذرات کاریید تنگستن وارد حوضچه جوش می شود و میزان سختی فلز جوش بالا می رود و میزان انعطاف پذیری جوش کاهش می یابد.
- با کاهش سرعت چرخش و سرعت پیشروی ابزار، حرارت ورودی کاهش پیدا می کند و اتصالی با کیفیت مناسب حاصل نمی شود. از طرفی هم با افزایش سرعت چرخش و سرعت پیشروی ابزار حرارت ورودی بیش از اندازه افزایش پیدا می کند. بنابراین

[8] Cho H.H., Han H.N., Hong S.T., Park J.H., Kwon Y.J., Kim S.H., Russell J., Microstructural analysis of friction stir welded ferritic stainless steel, *Materials Science and Engineering A*, 528, 2011, pp. 2889–2894.

[9] A. Falahi, A. Eghbali, " Evaluating the Parameters Affecting the Distribution of Thickness in Cup Deep drawing of ST14 Sheet", Mech. Dep. Amirkabir University of Technology, ISBN: 978-1-61804-115-9.

[10] Chung Y.D., Fujii H., Ueji R., Tsuji N., Friction stir welding of high carbon steel with excellent toughness and ductility, *Scripta Materialia*, 63, 2010, pp. 223–226.

[11] ASTM, "Standard Test Methods for Tension Testing of Metallic Material", E8, Vol. 03.01, 2004.

[12] Ahn B.W., Choi D.H., Kim D.J., Jung S.B., Microstructures and properties of friction stir welded 409L stainless steel using a Si₃N₄ tool, *Materials Science and Engineering A*, 532, 2012, pp. 476–479.

[13] Fujii H., Cui L., Tsuji N., Maeda M., Nogi K., Friction stir welding of carbon steels", *Materials Science and Engineering A*, 42, 2006, pp. 50–57.

[14] G.E.P. Box, K.B. Wilson, "On The Experimental Attainment of Optimum Conditions" *J. of the Royal Statistical Society. Series B* 13. pp. 1–45, 1951.

[15] D.C. Montgomery, "Design and Analysis of Experiments" Sixth Edition. *John Wiley & Sons. Inc. ISBN. 0-471-48735-X*. 2005.

[16] W.M. Thomas, E.D. Nicholas, J. Needham, M. Murch, P. Templesmith, C. Dawes, "Friction stir butt welding", *International Patent Application. No. PCT/GB92/02203*. December. 1991.

[۱۷] نوروزی س، شاکری م، کریمی ن، مقایسه ریزساختار و خواص مکانیکی اتصال آلیاژ آلومینیوم به روش روش اصطکاکی-اغتشاشی در هوا و زیر آب، سیزدهمین کنفرانس ملی جوش و بازرسی، تهران، ۱۳۹۲، ۱۴۶-۱۵۲.

Archive of SID